

Fig 4.22 ALICE TPC

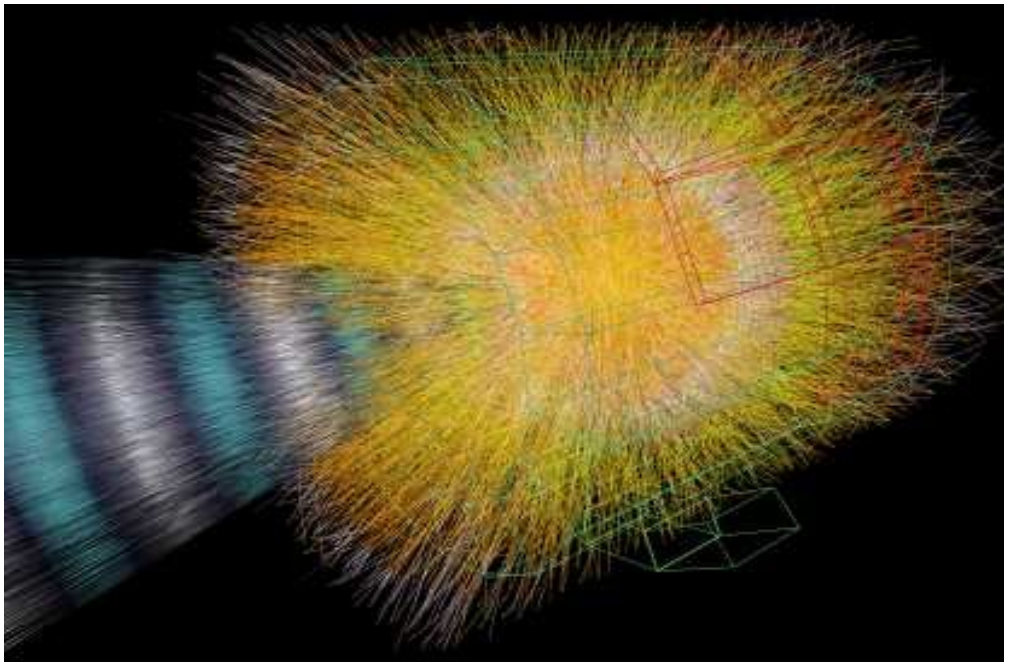
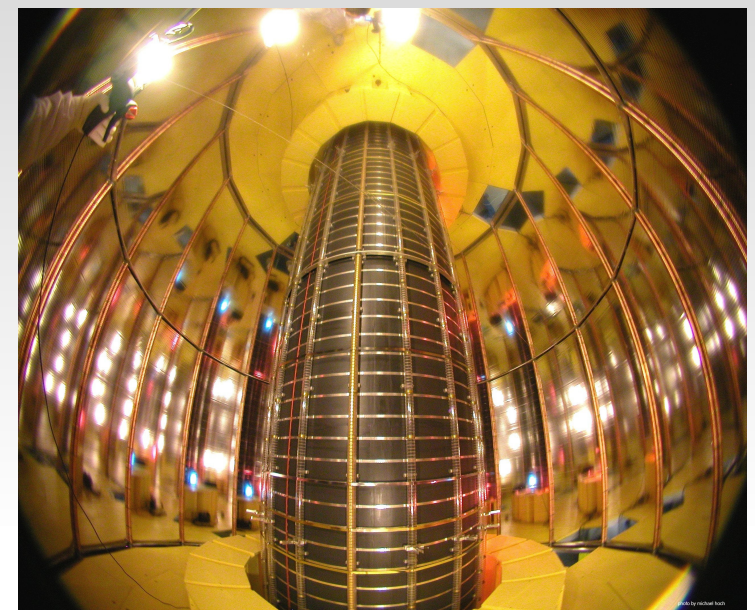
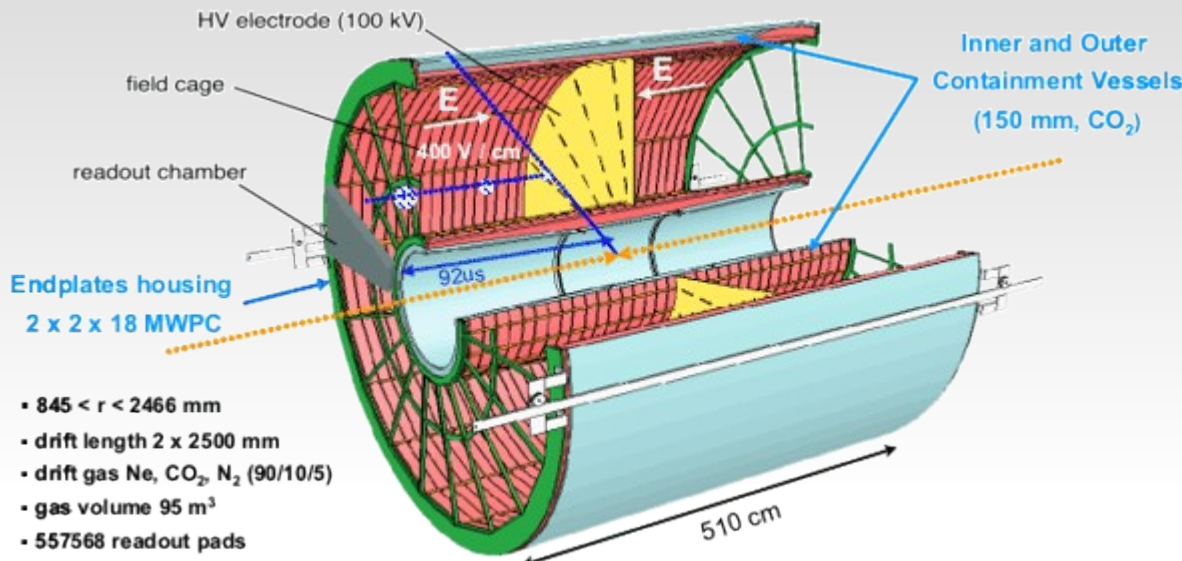
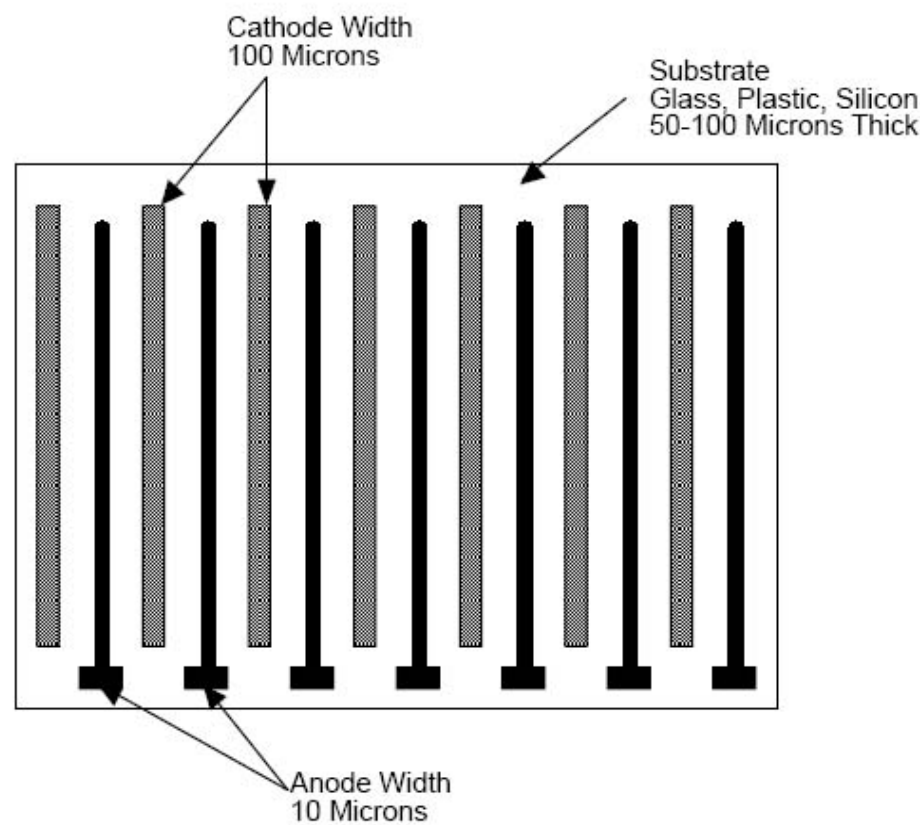


Fig. 4.23 MSGC (schematisch)



Microstrips of metal: Cr., Al., Au.
~1000 Angstroms Thick

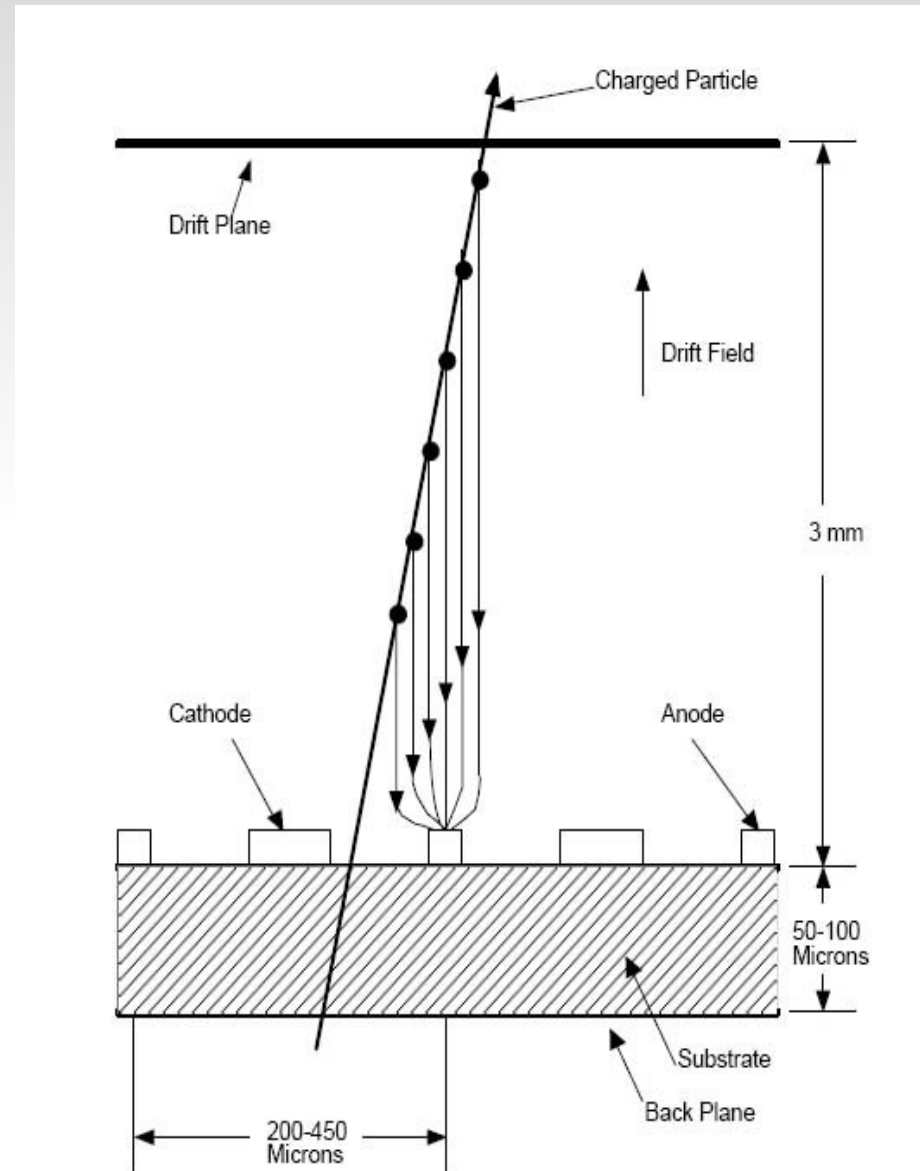


Fig 4.24 Gasverstärkung vs. Teilchenfluß

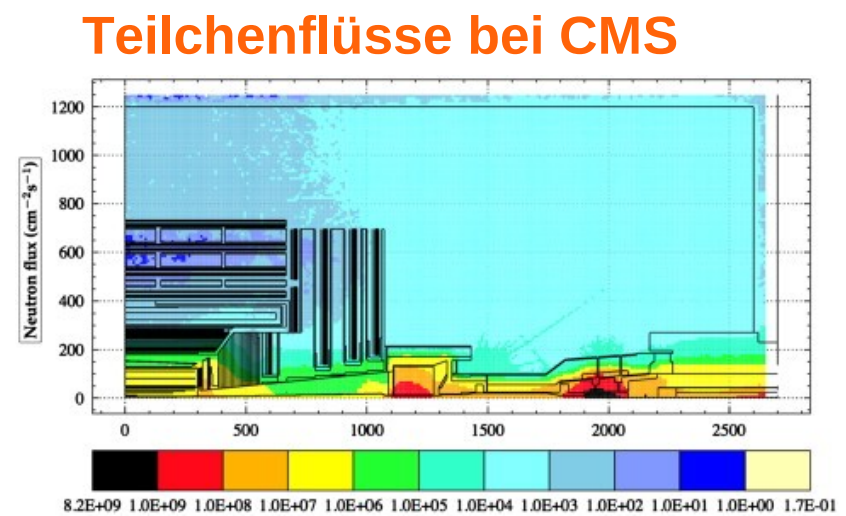
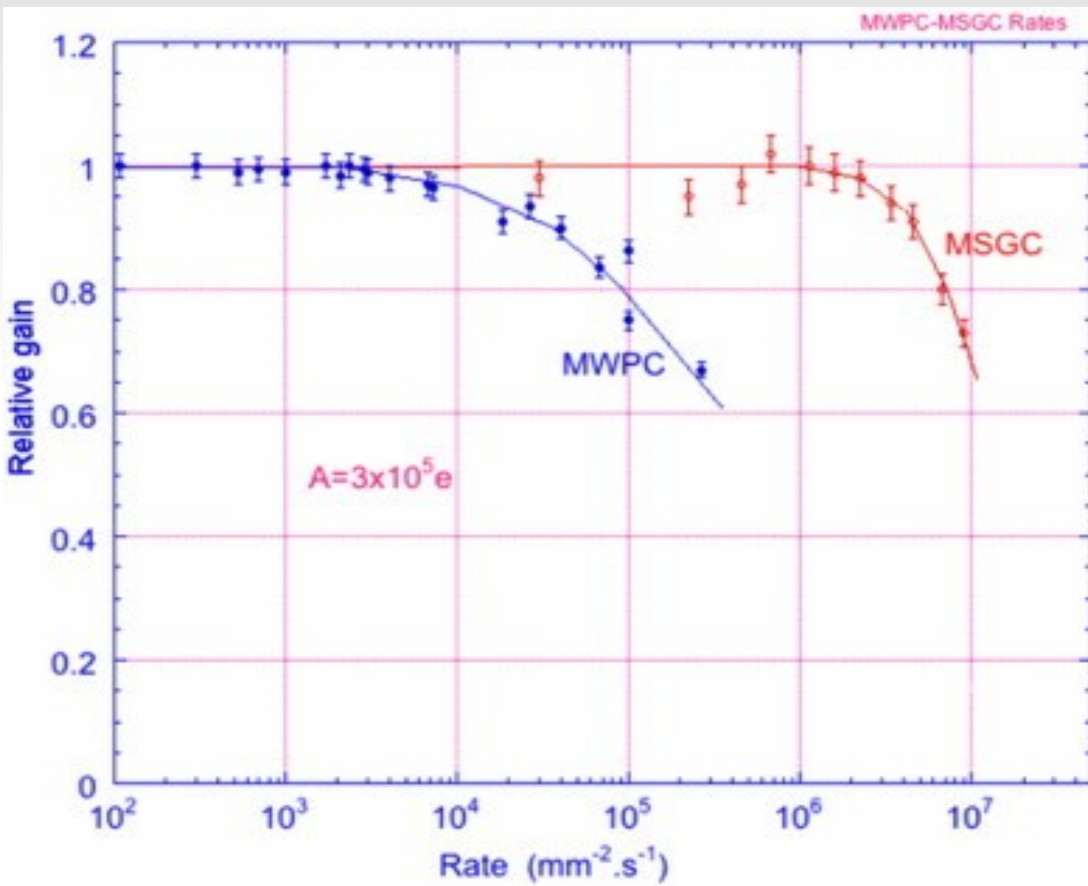
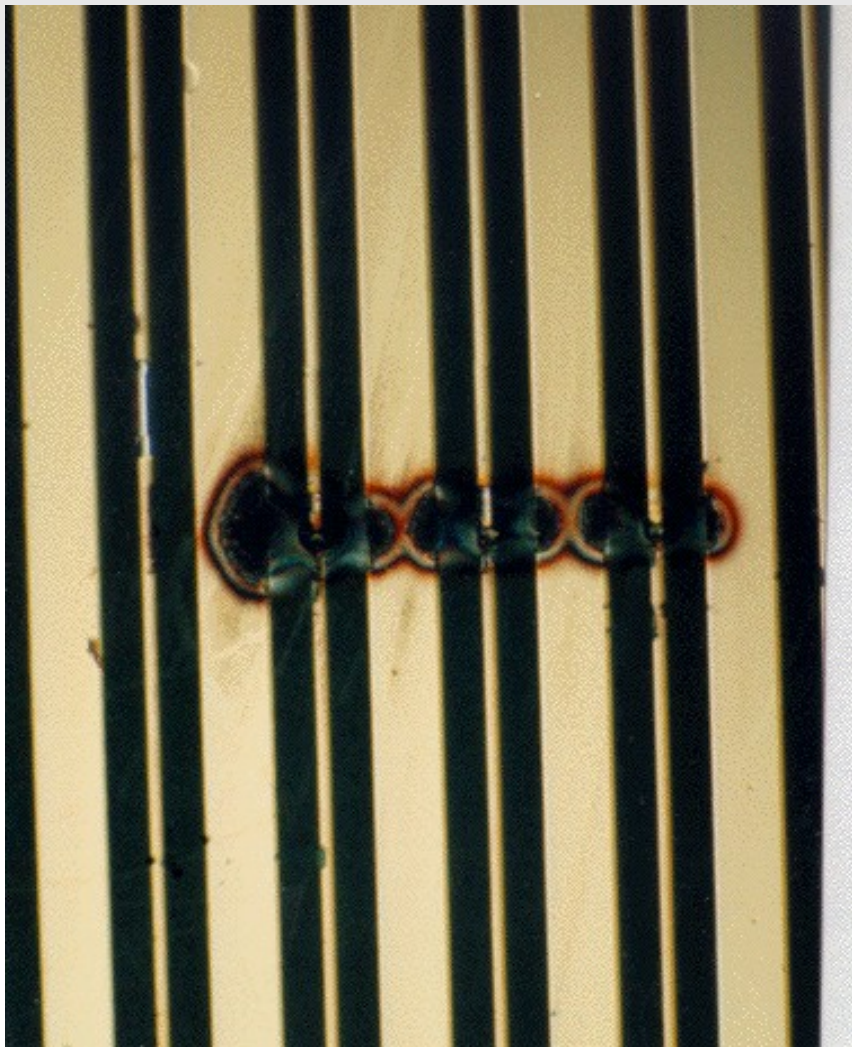


Fig 4.25 MSGC Aging

Entladung



Langsames Altern

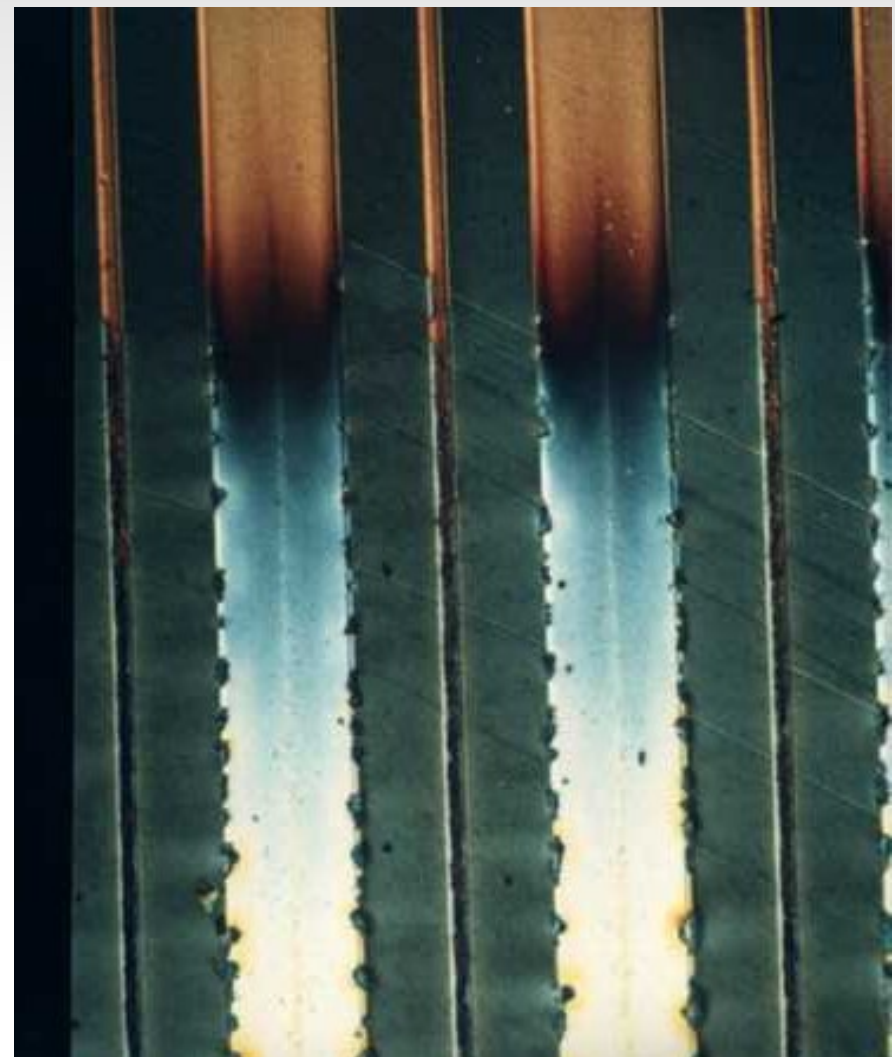


Fig 4.26 Micromegas

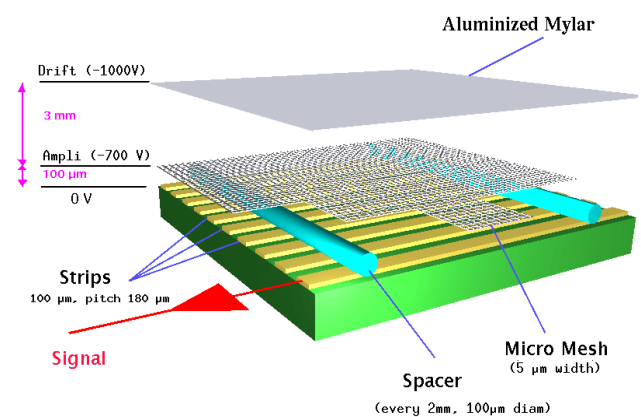
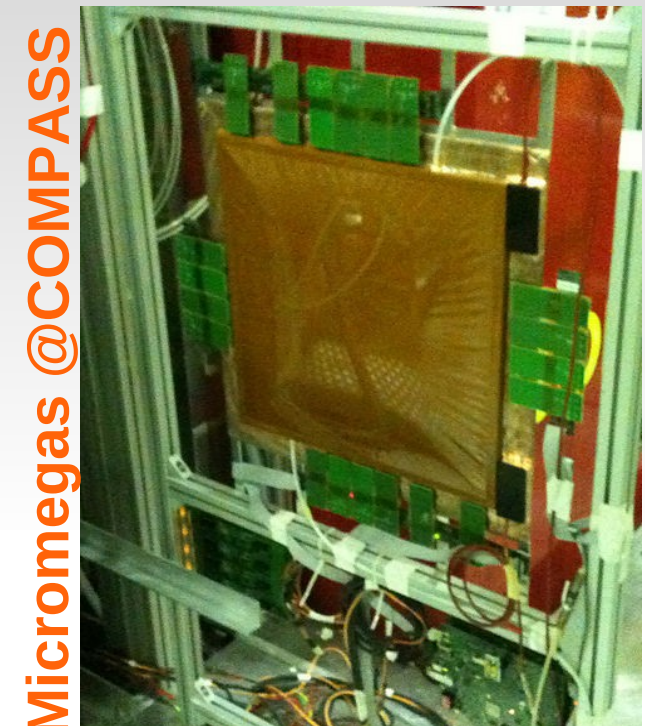
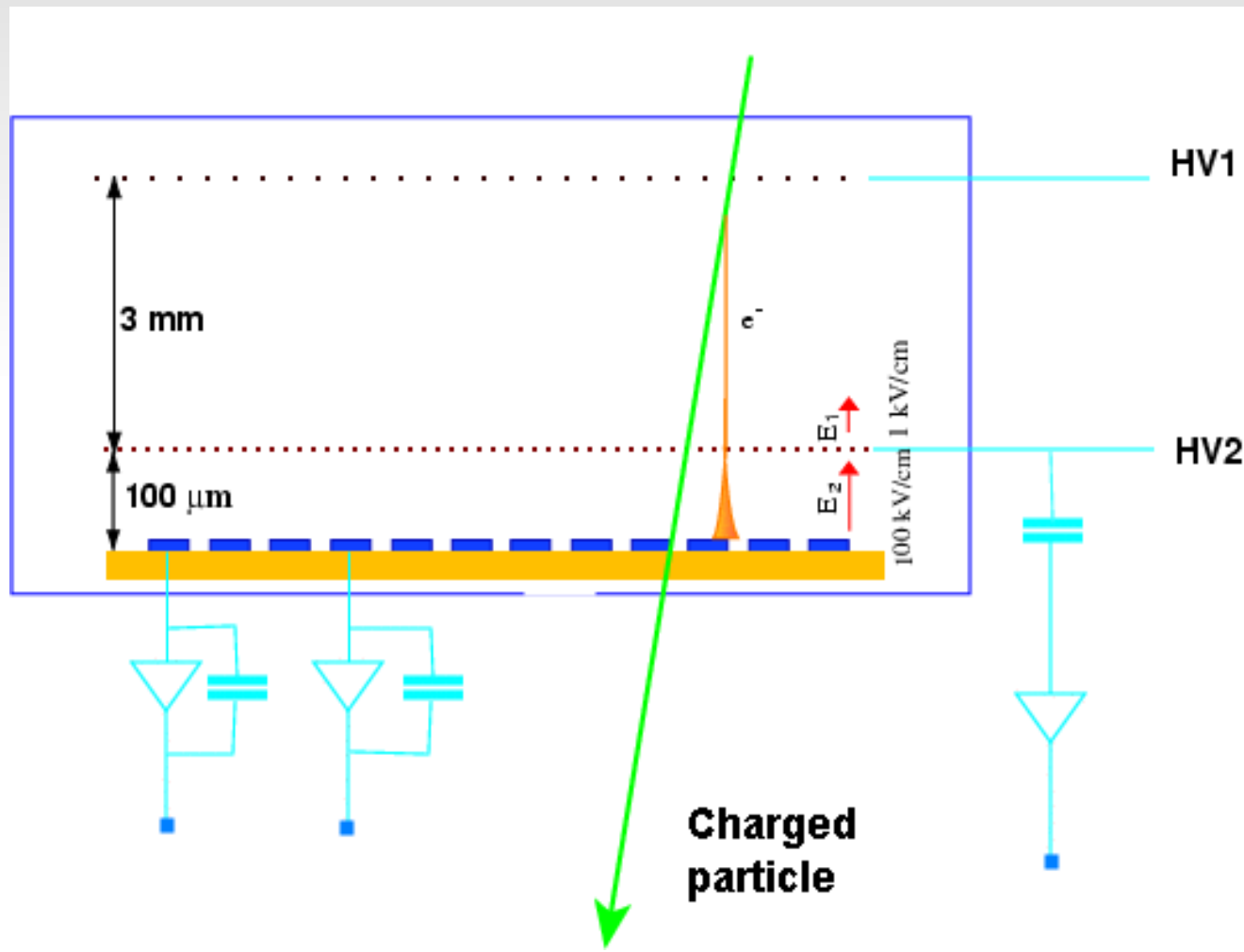


Fig 4.27 GEM

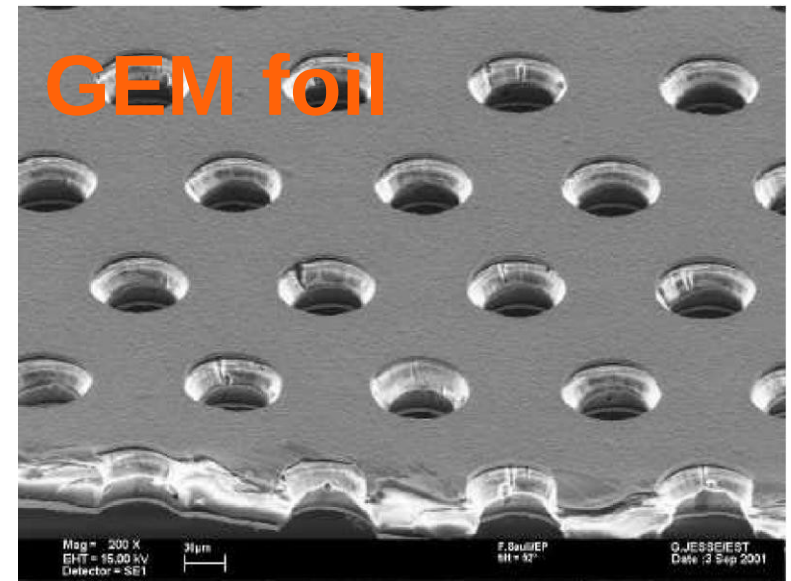
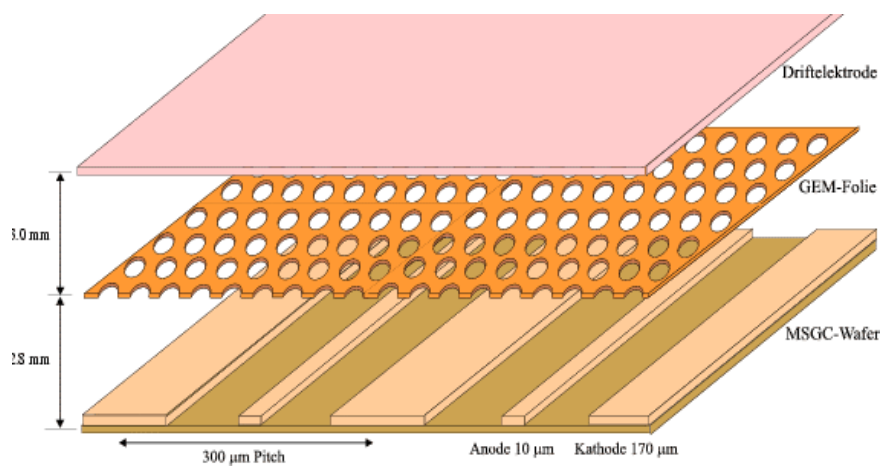
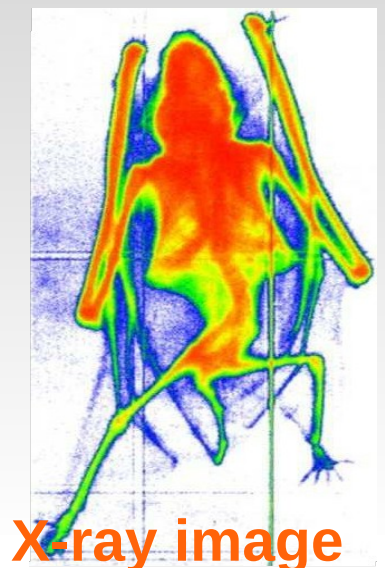
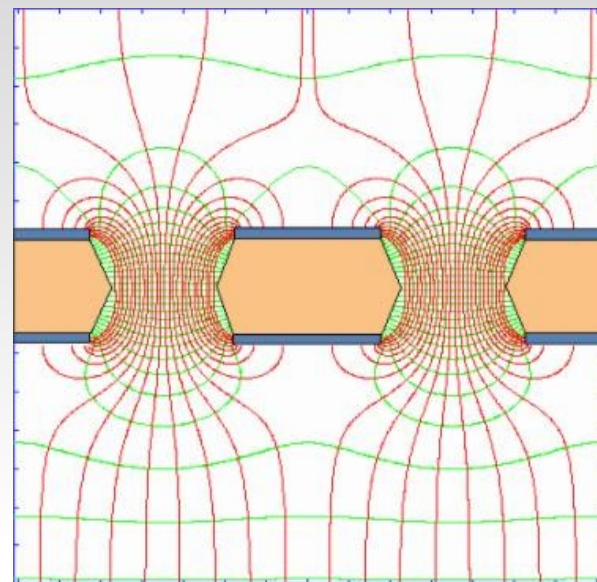
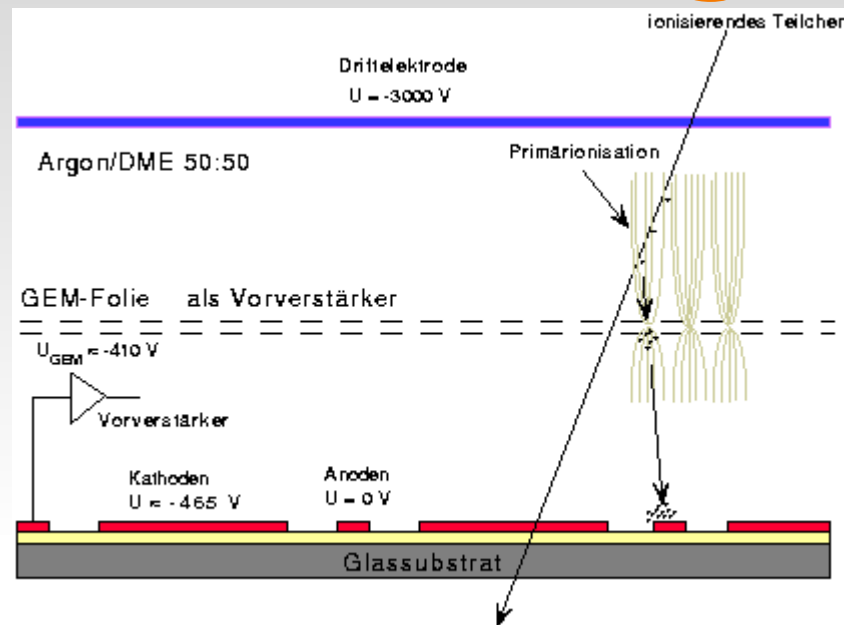


Fig 4.28 Si-Streifendetektor (einseitig)

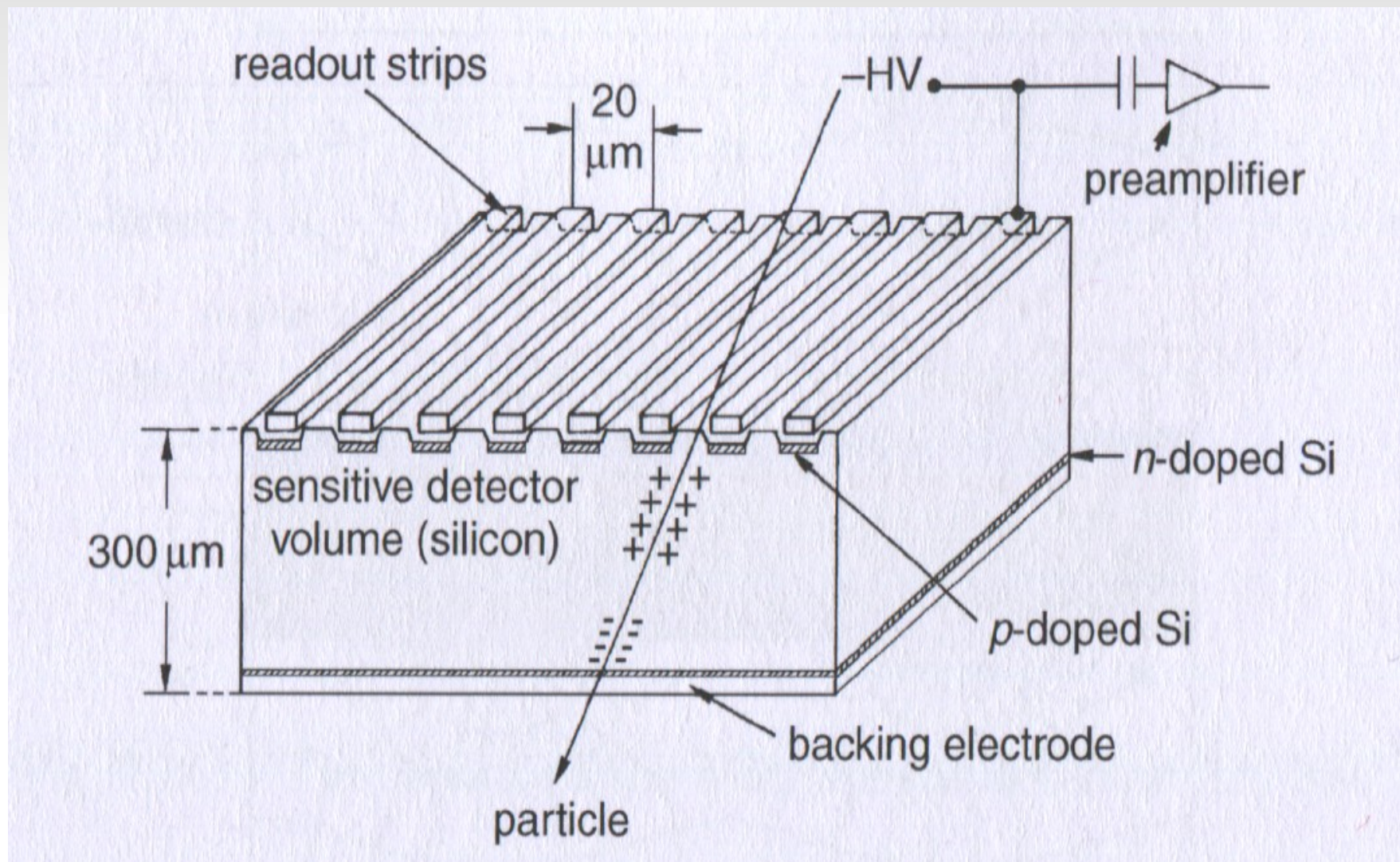


Fig 4.29 Streifendetektor (zweiseitig)

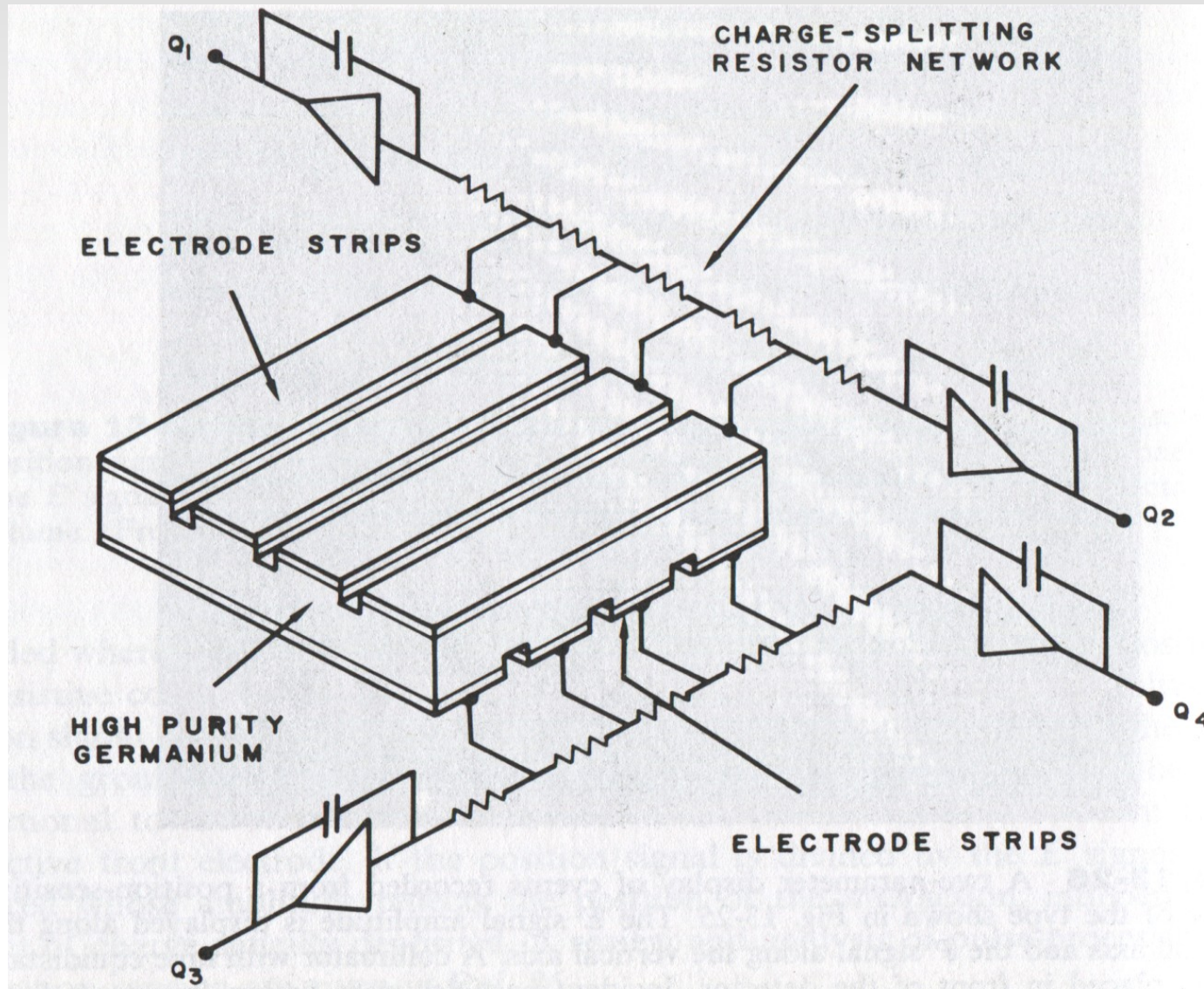
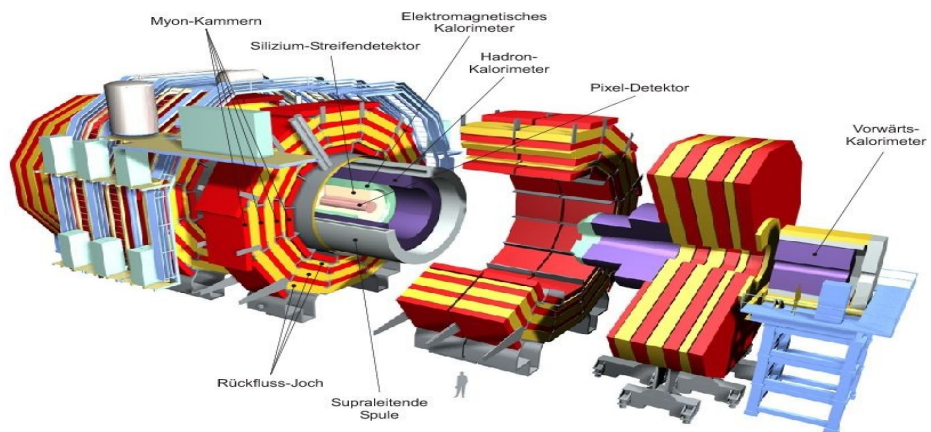
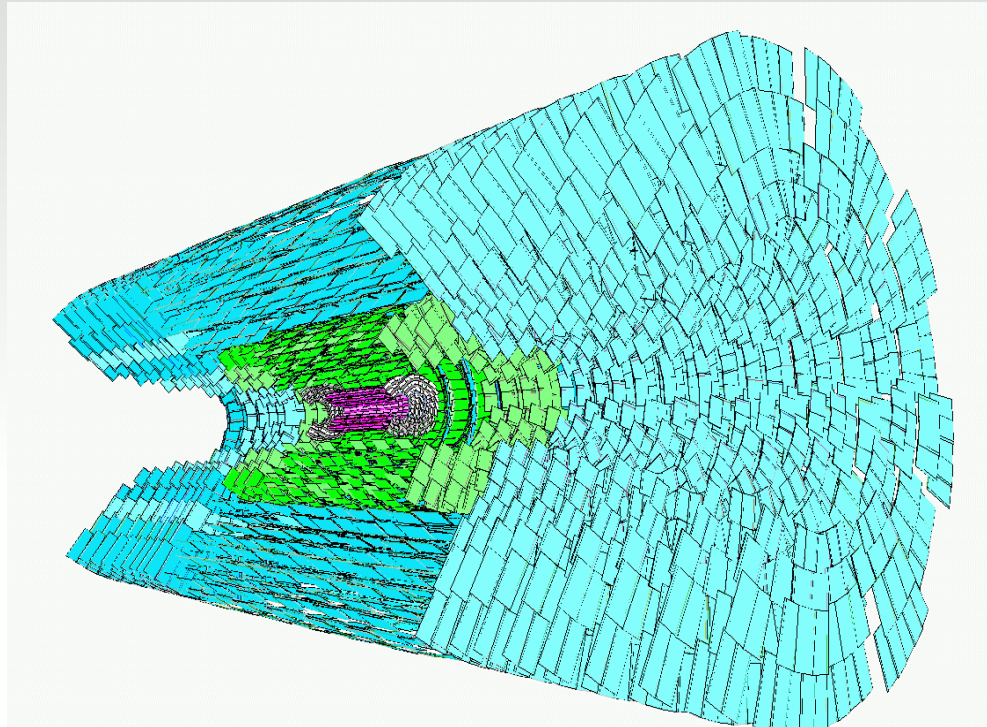
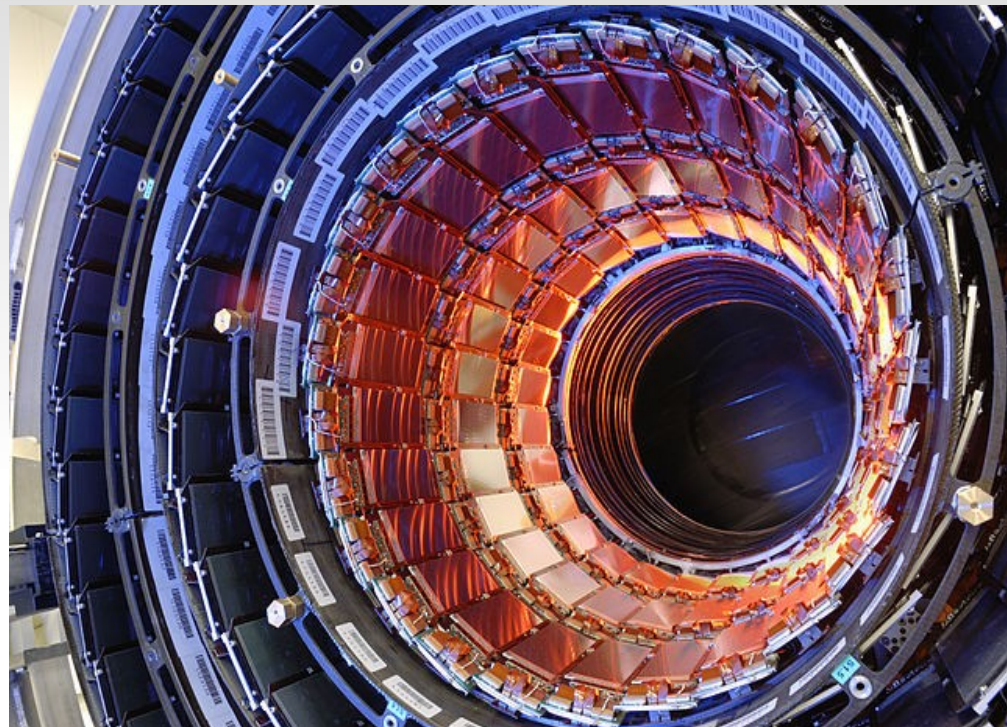


Fig 4.29 CMS Tracker



**200m² Sensorfläche
9Mio Kanäle
Pitch 100μm, Streifenlänge 10cm,
Sensordicke 300-500μm
Ortsauflösung ~10μm**

Fig 4.30 Hybrid-Pixeldetektor

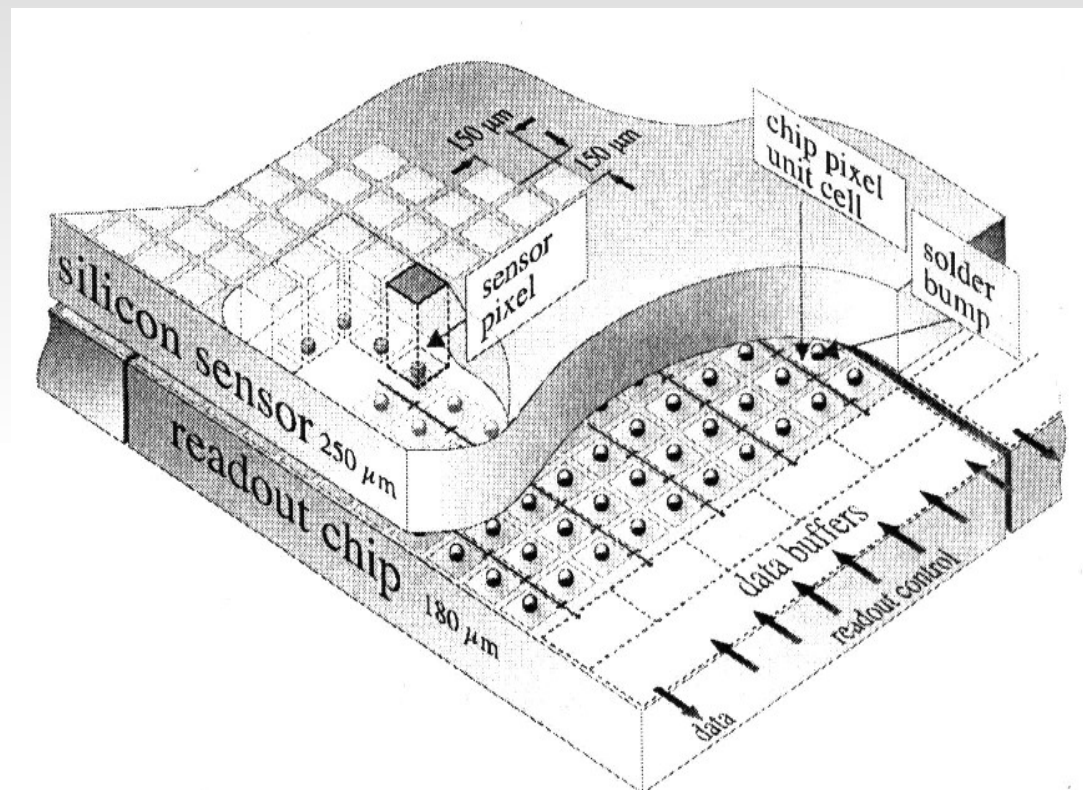
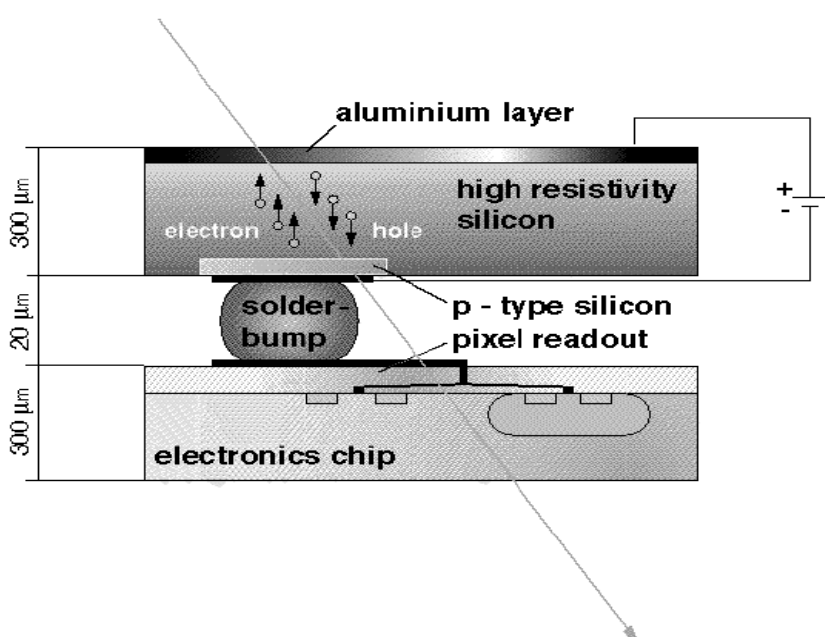
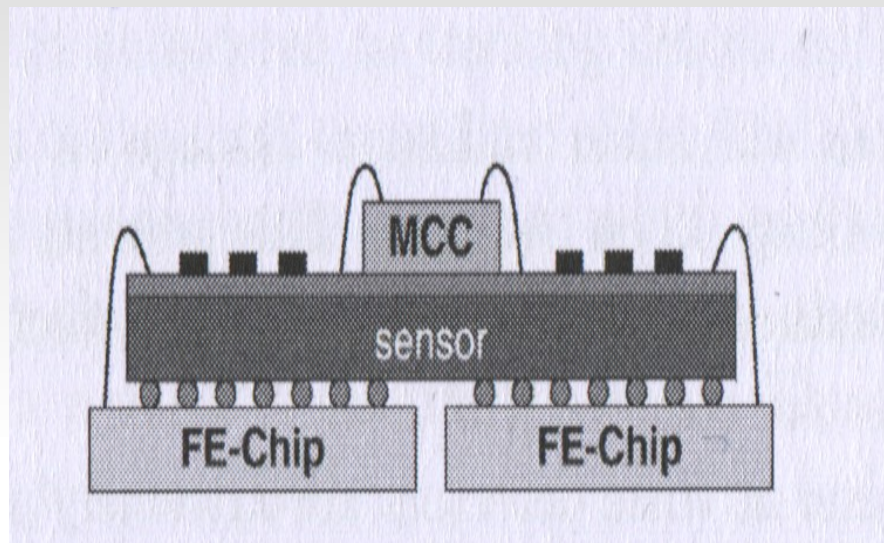
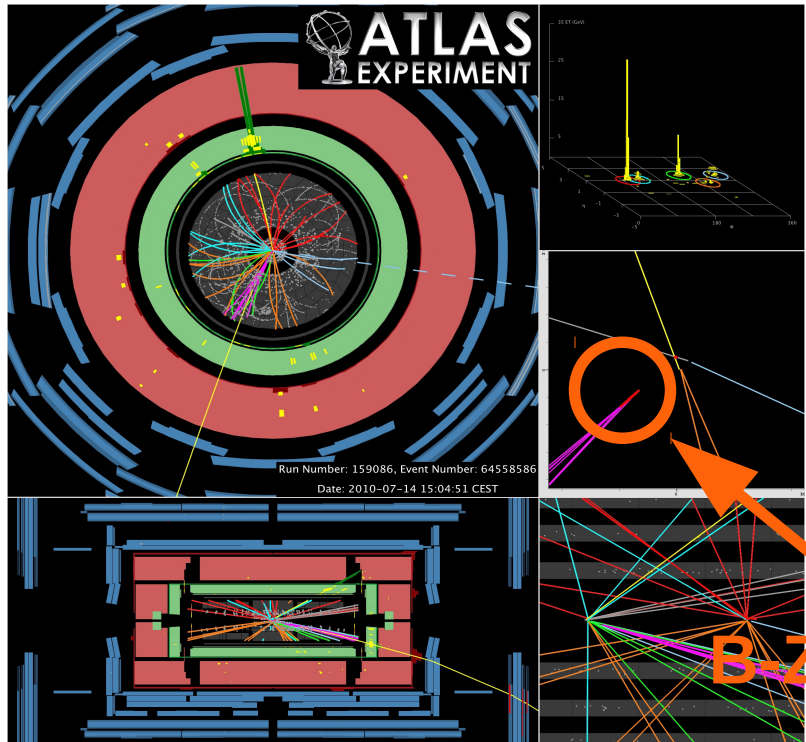
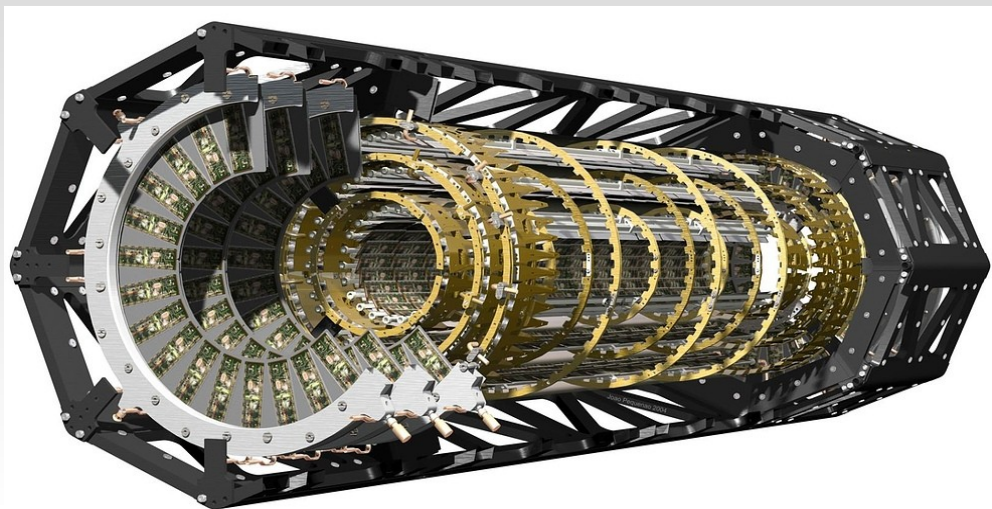


Fig 4.31 ATLAS PIXEL



Sensor: 16,4x60,8 mm²
mit 46000 Pixeln
Pixelgröße 500x400µm
80 Mio Kanäle

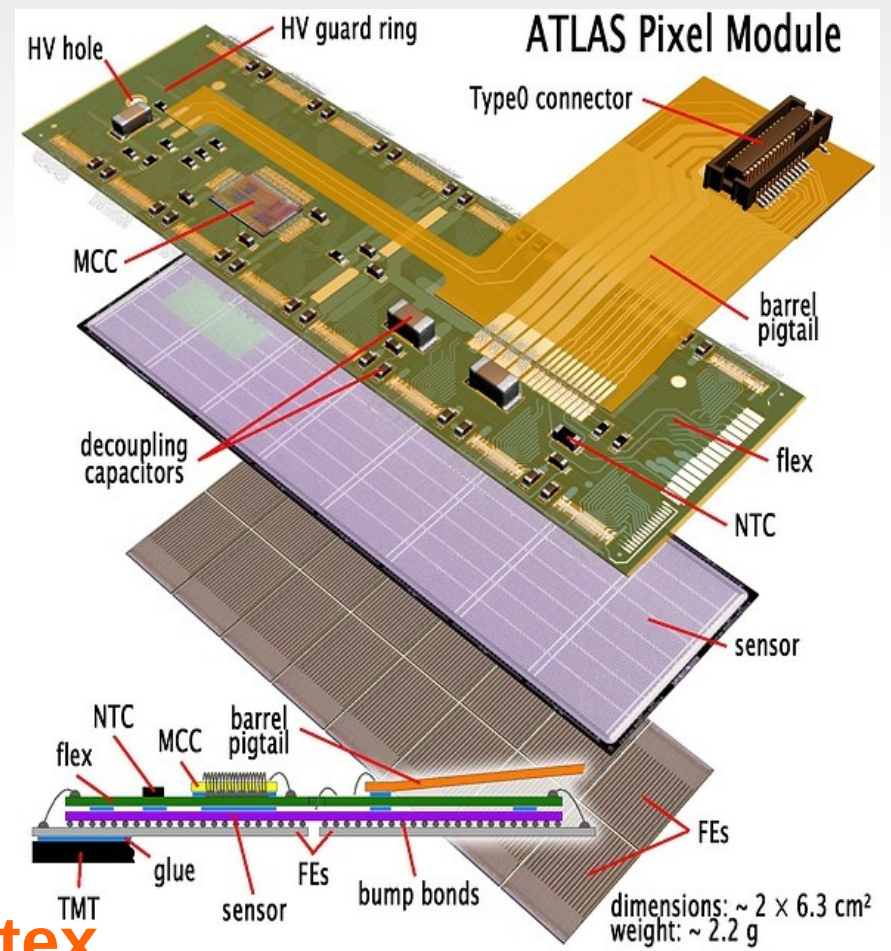


Fig 4.32 Kernspuremulsion

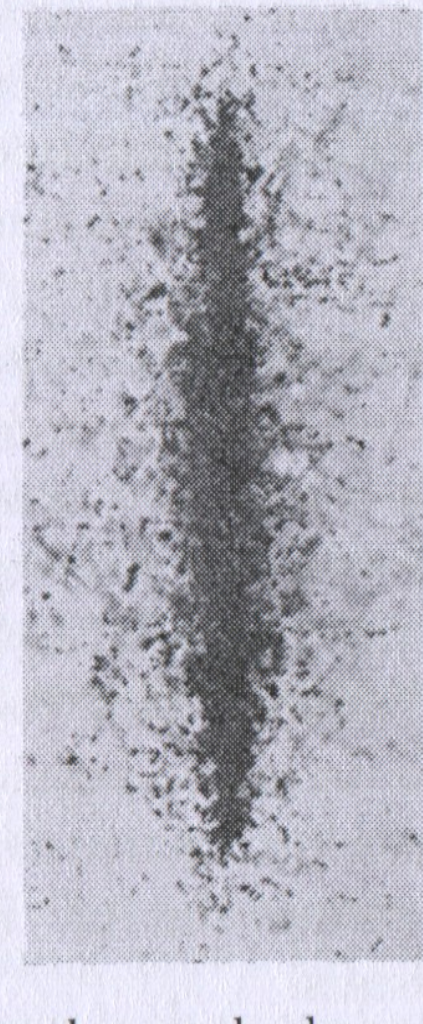
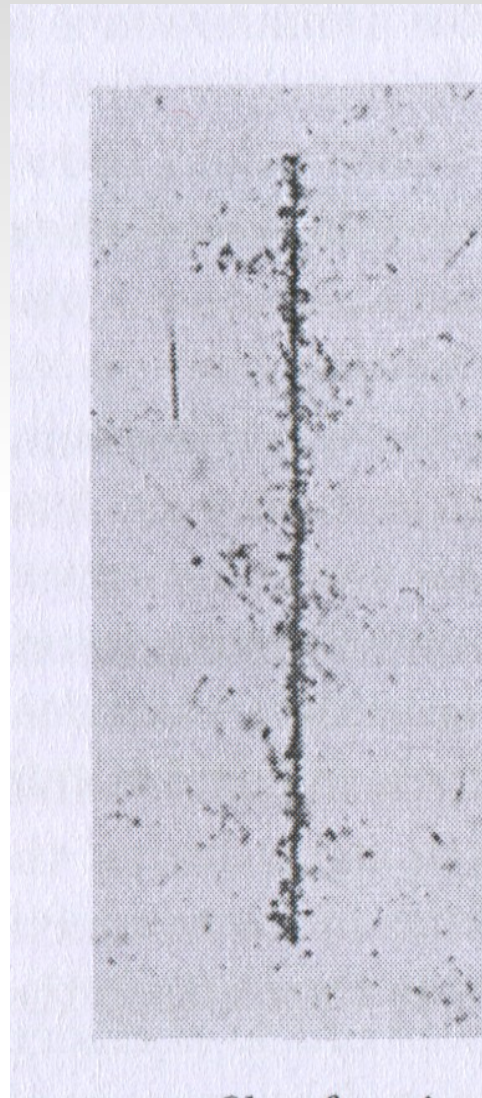
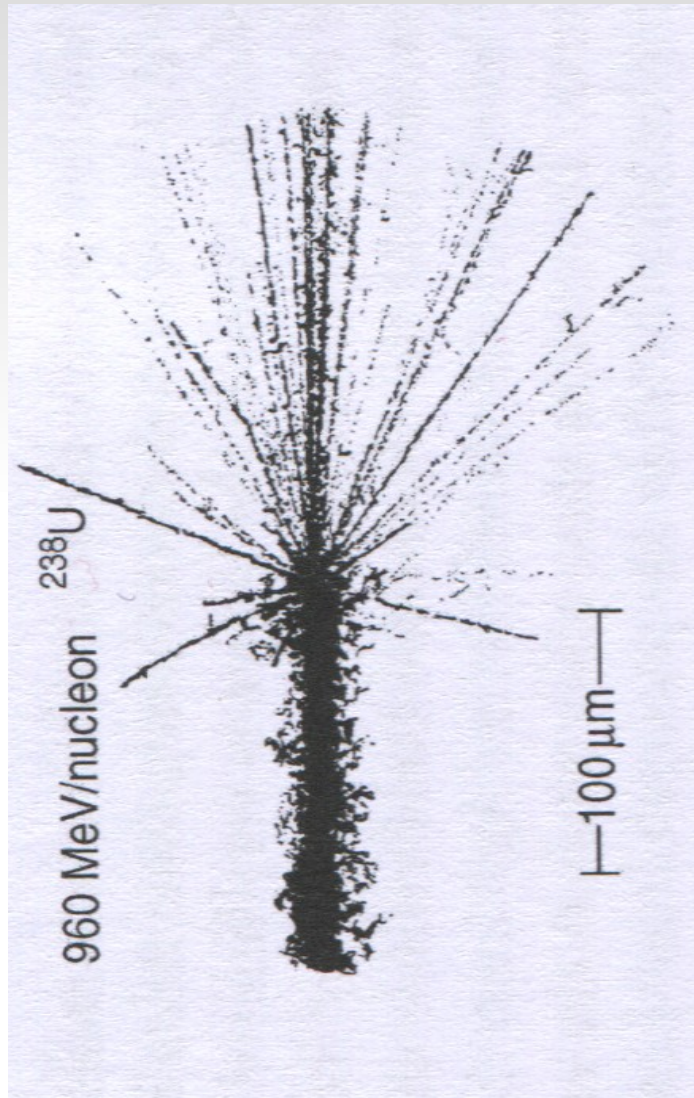
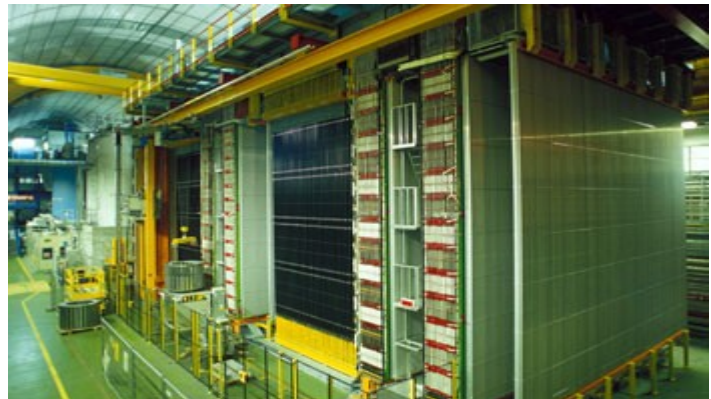
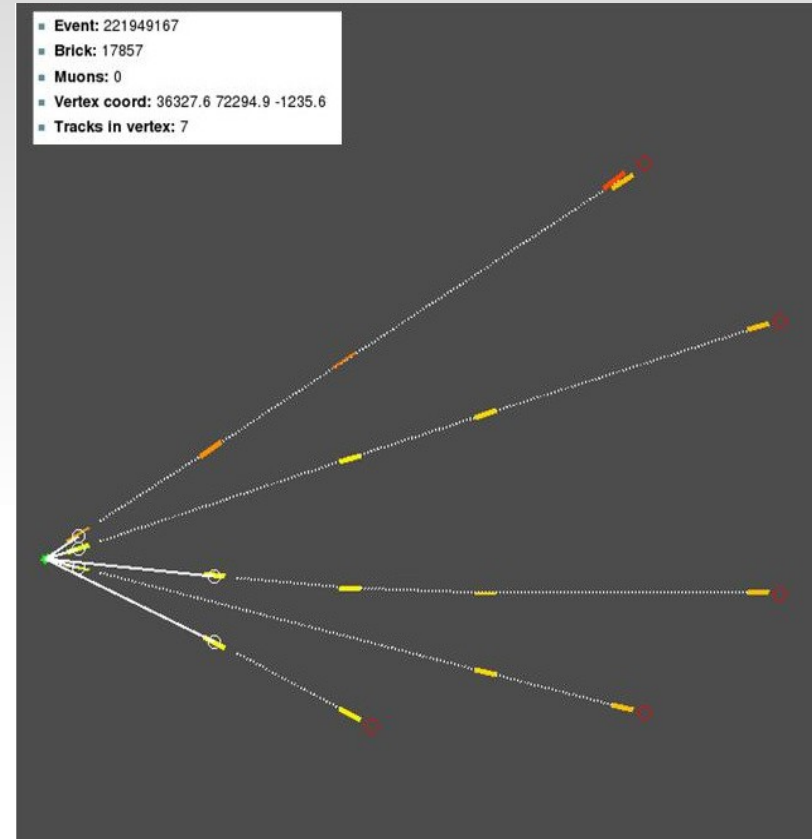
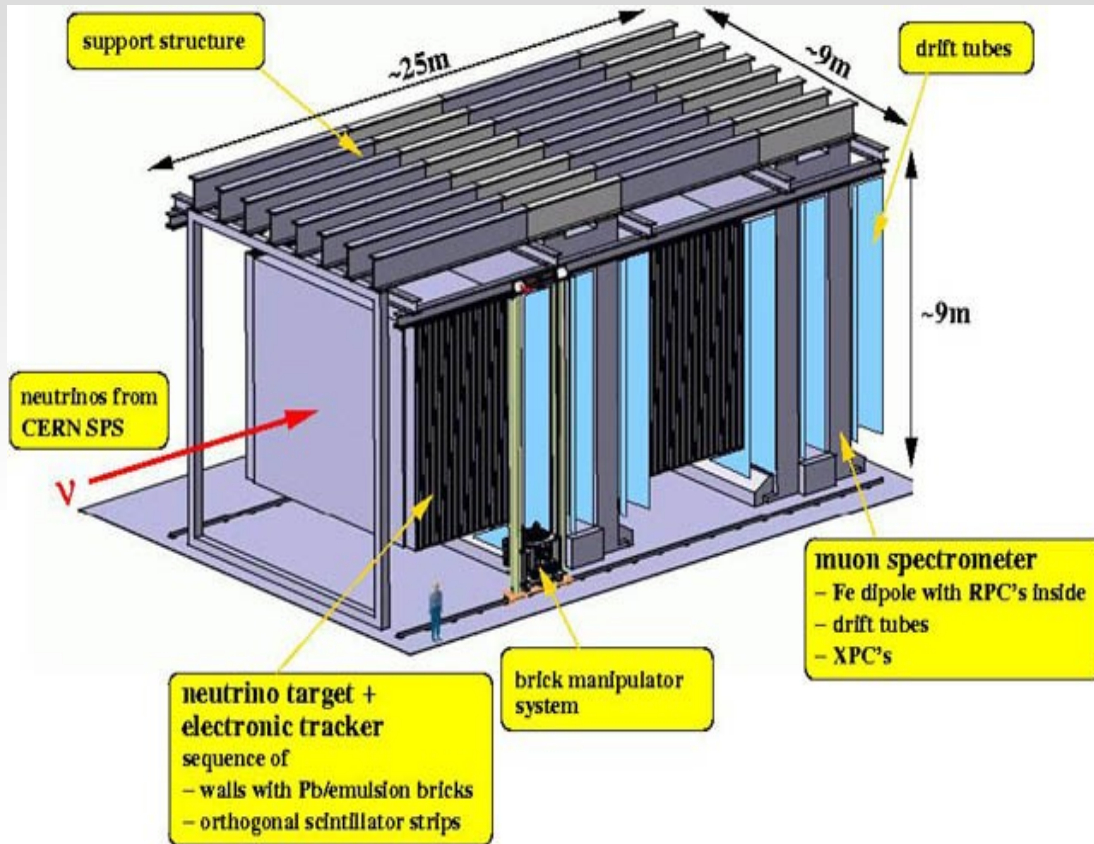


Fig 4.33 OPERA



**150.000 Bricks
(Blei/Kernmulsion)
 τ -Zerfallslänge $\sim 100\mu\text{m}$**